

Monolithisch Integrierte Schaltungen Monolithic Integrated Circuits

Anwendungen: Operationsverstärker in Regelungstechnik, NF-Schaltungen, Analog-Rechner-technik, Autoelektronik usw.

Applications: Operational amplifiers in automatic control technique, audio circuits, analogue calculator and auto electronics etc.

Besondere Merkmale:

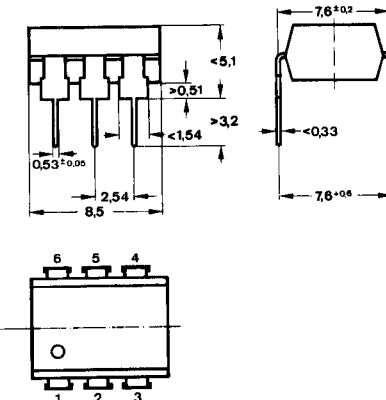
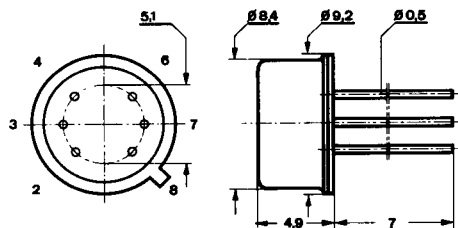
- Geringer Ruhestrom typ. 1,5 mA
- Großer Versorgungsspannungsbereich $\pm 2 \dots \pm 10$ V
- Ausgangsstrom bis 70 mA
- Hochohmiger Differenzeingang typ. 200 k Ω
- Hohe Leerlaufspannungsverstärkung typ. 90 dB
- Einfache Frequenzgangkompensation
- Hohe Gleichtaktunterdrückung typ. 86 dB

Features:

- Low quiescent current typ. 1.5 mA
- Wide range of supply voltage $\pm 2 \dots \pm 10$ V
- Output current up to 70 mA
- High input differential impedance typ. 200 k Ω
- High open-loop voltage amplification typ. 90 dB
- Simple frequency compensation
- High common mode rejection ratio typ. 86 dB

Vorläufige technische Daten · Preliminary specifications

Abmessungen in mm Dimensions in mm

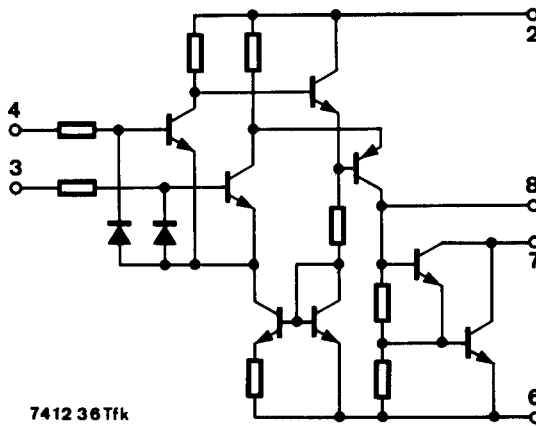


TAA 861 · TAA 865

Normgehäuse
Case
5 H 6 DIN 41 873
 \approx JEDEC MO 002 AE
Gewicht · Weight
max. 1 g

TAA 861 A · TAA 865 A

Kunststoffgehäuse
Plastic case
DIP 6-polig
Gewicht · Weight
max. 0,7 g



TAA 861 · TAA 861 A
TAA 865 · TAA 865 A

Invertierender Eingang <i>Inverting input</i>	4	3
Nicht invertierender Eingang <i>Non-inverting input</i>	3	2
Frequenzgangkompensation <i>Frequency compensation</i>	8	6
Ausgang <i>Output</i>	7	5
U_S	2	1
$-U_S$	6	4

Fig. 1 Schaltung und Anschlußbelegung
Diagram and pin connections

Bezugspunkt: Gemeinsamer Anschluß der Versorgungsspannungsquellen
Reference point: Common power supply

Anschlußbelegungen siehe: Fig. 1 Nachfolgende Anschlußangaben nur für: TAA 861, TAA 865
Pin connections see: Fig. 1 Following terminal specification only for: TAA 861, TAA 865

Absolute Grenzdaten *Absolute maximum ratings*

Versorgungsspannungen <i>Supply voltages</i>	Pin 2 U_S	10	V
	Pin 6 $-U_S$	10	V
Funktionsbereich <i>Function range</i>	Pin 2, 6 $\pm U_S$	2...10	V
Ausgangsstrom <i>Output current</i>	Pin 7 I_Q	70	mA
Eingangsspannung <i>Input voltage</i>	Pin 3, 4 $\pm U_I$	$\pm U_S$	
Betriebsumgebungstemperaturbereich <i>Operating temperature range</i>			
TAA 861, TAA 861 A	t_{amb}	0...+70	°C
TAA 865, TAA 865 A	t_{amb}	-25...+85	°C
Sperrschiitttemperatur <i>Junction temperature</i>	t_j	150	°C
Lagerungstemperaturbereich <i>Storage temperature range</i>	t_{stg}	-40...+125	°C

Wärmewiderstände
Thermal resistances

			Min.	Typ.	Max.
Sperrsicht-Umgebung <i>Junction ambient</i>	TAA 861, TAA 865 TAA 861 A, TAA 865 A	R_{thJA} R_{thJA}		190 140	°C/W °C/W
Sperrsicht-Gehäuse <i>Junction case</i>	TAA 861, TAA 865	R_{thJC}		80	°C/W

Statische Kenngrößen
Static characteristics

$\pm U_S = 10 \text{ V}$, $t_{\text{amb}} = 25^\circ\text{C}$

Leistungsaufnahme

Total power

$U_Q = 0 \text{ V}$, $R_L = 2 \text{ k}\Omega$		P_{tot}	70		mW
---	--	------------------	----	--	----

Leerlauf-Stromaufnahme

No load supply current

Pin 2	I_S	1	1,5	mA
-------	-------	---	-----	----

Eingangs-Fehlspannung

Input offset voltage

$R_{\text{KO}} = 60 \Omega$, Fig. 2, 6	Pin 3	U_{IO}	2	10	mV
---	-------	-----------------	---	----	----

Eingangs-Fehilstrom, Fig. 8

Input offset current

Pin 3, 4	I_{IO}	50	300	nA
----------	-----------------	----	-----	----

Eingangsstrom, Fig. 8

Input current

Pin 3, 4	I_I	0,3	1	μA
----------	-------	-----	---	----



Dynamische Kenngrößen

Dynamic characteristics

$\pm U_S = 10 \text{ V}$, $t_{\text{amb}} = 25^\circ\text{C}$

Ausgangsspannung

Output voltage

$R_L = 2 \text{ k}\Omega$	Pin 7	$\pm U_Q$	9		V
$R_L = 250\Omega$	Pin 7	$\pm U_Q$	8		V

Eingangsimpedanz

Input impedance

$f = 1 \text{ kHz}$		z_i	200		kΩ
---------------------	--	-------	-----	--	----

Leerlauf-Spannungsverstärkung, Fig. 11

Open circuit voltage amplification

$f = 1 \text{ kHz}$, $R_L = 2 \text{ k}\Omega$	Pin 7	A_{uo}	75	84	dB
$R_L = 10 \text{ k}\Omega$	Pin 7	A_{uo}		90	dB
$f = 1 \text{ MHz}$, $R_L = 2 \text{ k}\Omega$	Pin 7	A_{uo}		43	dB

Eingangs-Gleichaktbereich

Input push pull range

$R_L = 2 \text{ k}\Omega$, Fig. 16	Pin 7	$\pm U_{\text{IC}}$	9		V
-------------------------------------	-------	---------------------	---	--	---

Gleichaktunterdrückung

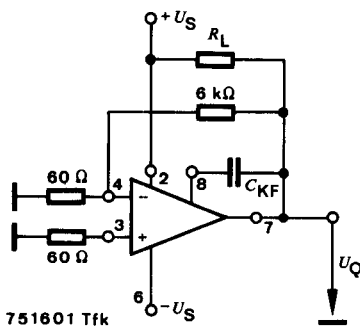
Push pull suppression

$R_L = 2 \text{ k}\Omega$	Pin 7	k_{cr}	75	86	dB
---------------------------	-------	-----------------	----	----	----

TAA 861 · TAA 861 A

TAA 865 · TAA 865 A

		Min.	Typ.	Max.
Rauschspannung DIN 45405 <i>Noise voltage</i>	$R_{KF} = 2,5 \text{ k}\Omega$	U_{ni}	3,1	μV
Temperaturkoeffizient der Eingangs- Fehlspannung <i>Temperature coefficient of input offset voltage</i>	$R_{KO} = 60\Omega$	Pin 3	a_{UIO}	$6 \text{ } \mu\text{V}/^\circ\text{C}$
Temperaturkoeffizient des Eingangs- Fehlstromes <i>Temperature coefficient of input offset current</i>	$R_{KO} = 60\Omega$	Pin 3, 4	a_{IIO}	$0,3 \text{ } n\text{A}/^\circ\text{C}$
Anstiegsgeschwindigkeit <i>Step response</i>	nicht invertierender Betrieb, Fig. 4 <i>non-inverted operation</i>	Pin 3	S_{VOav}	$3 \text{ } V/\mu\text{s}$
	invertierender Betrieb, Fig. 5 <i>inverted operation</i>	Pin 4	S_{VOav}	$12 \text{ } V/\mu\text{s}$

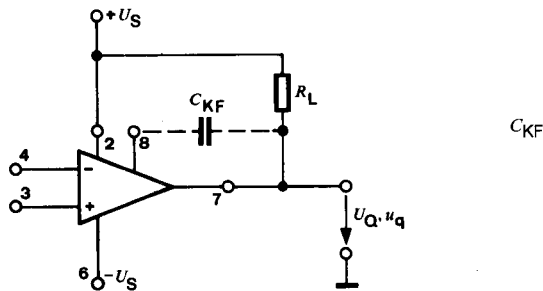


$$U_{IO} = \frac{U_{QO}}{A_U}$$

$$A_U = 100$$

$$U_{IO} = \frac{U_{QO}}{100}$$

Fig. 2 Fehlspannungskompensation
Offset voltage compensation

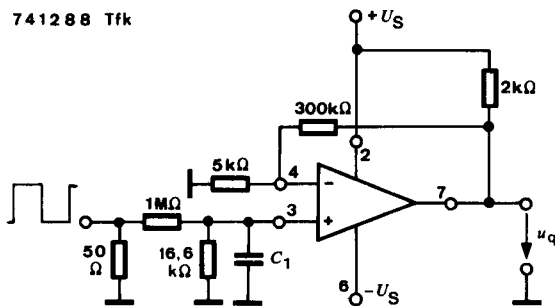


C_{KF} Frequenzgangkompen-
sation
Frequency compensation

741287 Tfk

Fig. 3 Anschlußschema
Connection diagram

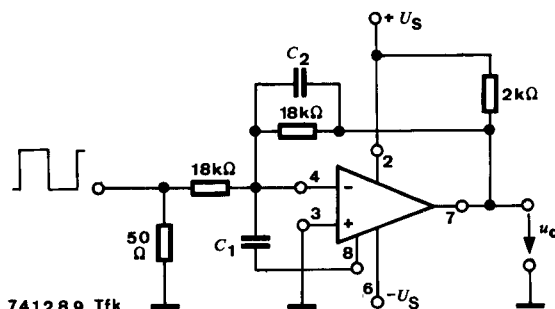
741288 Tfk



$C_1 \approx 22 \text{ pF}$ für minimales Über-
schwingen
for minimum overshoot



Fig. 4 Meßschaltung für nicht invertierenden Betrieb
Test circuit for non-inverted operation



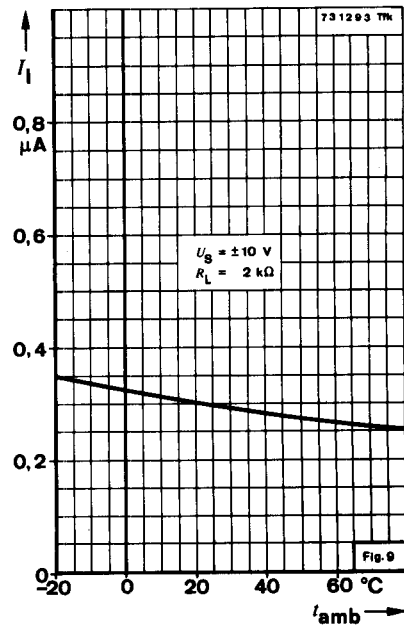
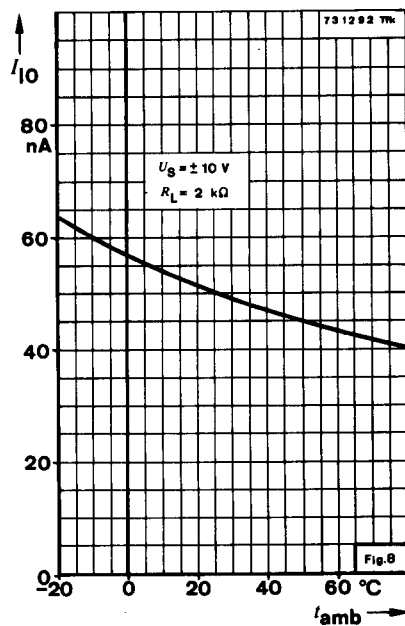
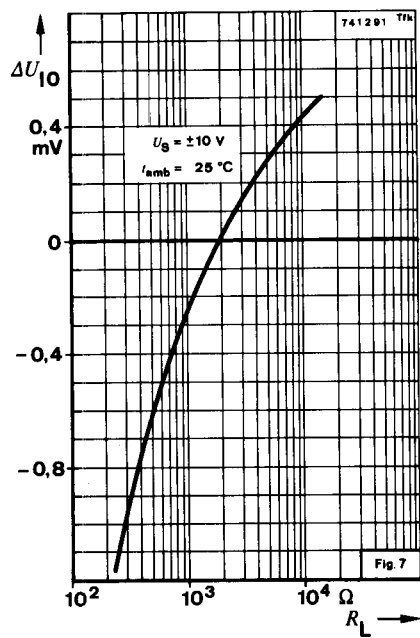
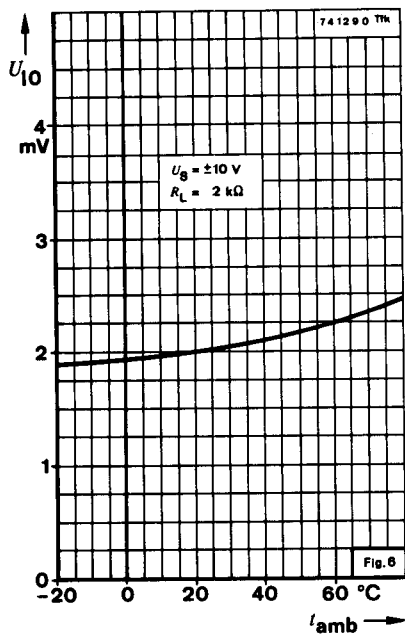
$C_1 \approx 3.9 \text{ pF}$ für minimales Über-
schwingen
for minimum overshoot

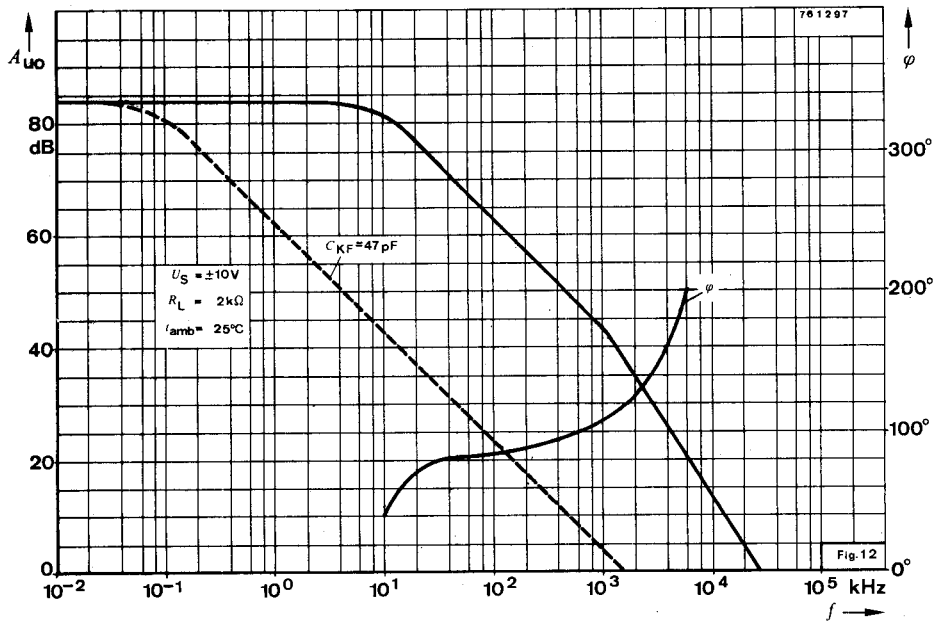
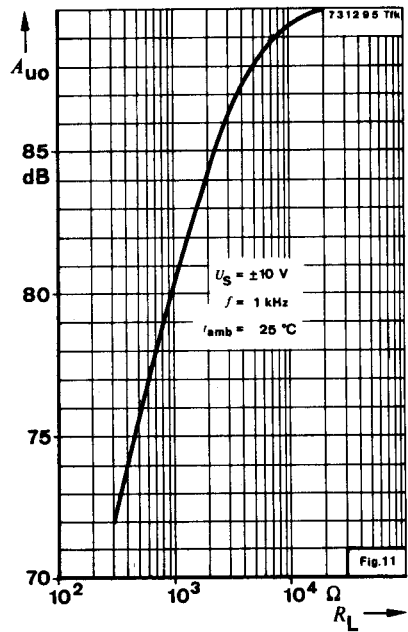
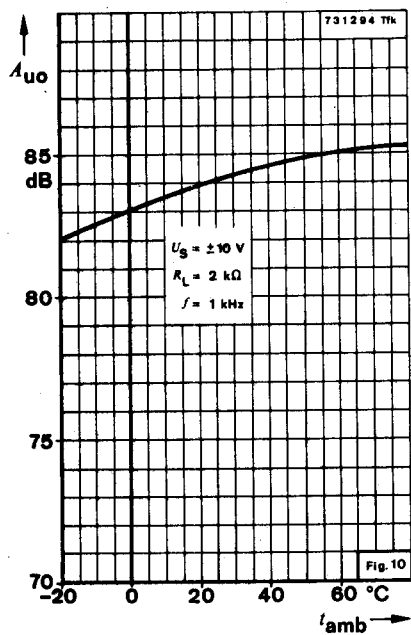
$C_2 \approx 390 \text{ pF}$ bewirkt frequenzab-
hängige Kompensation
zur Verkleinerung der
Anstiegszeiten
*acts as a frequency
dependent to decrease
the rise time*

Fig. 5 Meßschaltung für invertierenden Betrieb
Test circuit for inverted operation

TAA 861 · TAA 861 A

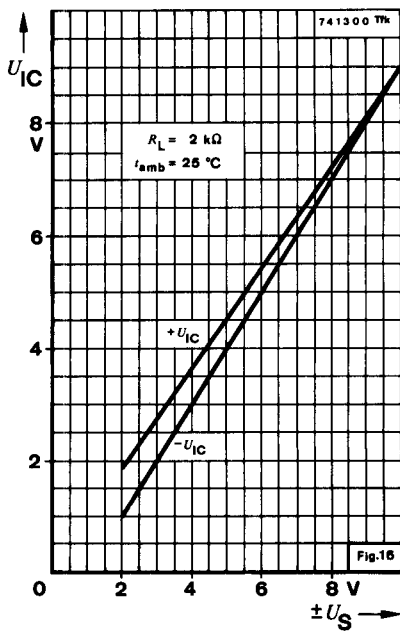
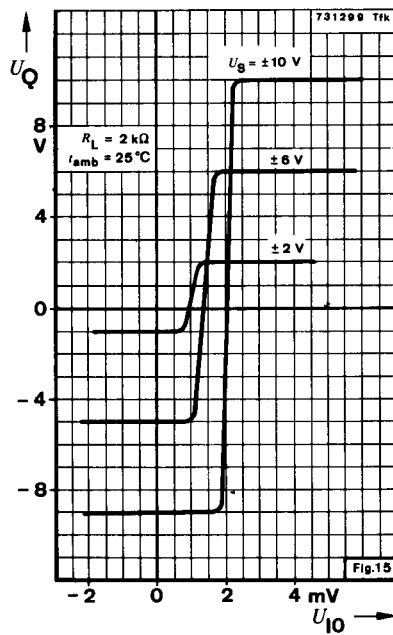
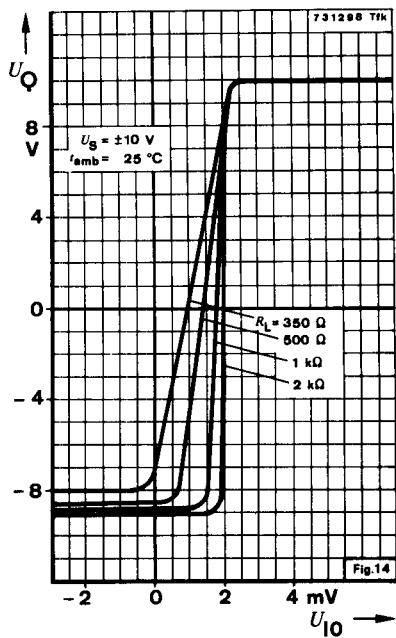
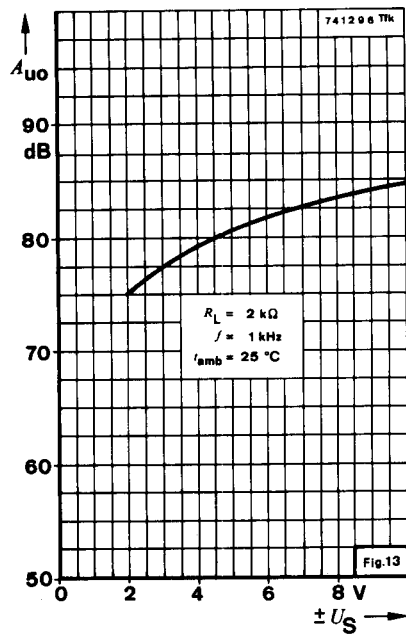
TAA 865 · TAA 865 A





TAA 861 · TAA 861 A

TAA 865 · TAA 865 A



Anwendungsbeispiele · Application notes

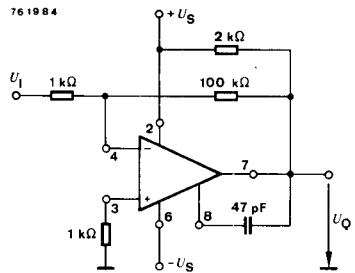


Fig. 17 Invertierender Verstärker
Inverting amplifier

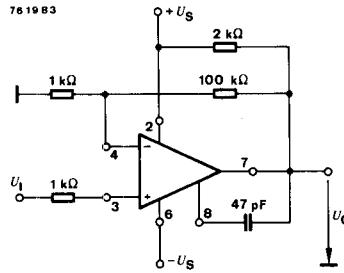


Fig. 18 Nicht invertierender Verstärker
Non inverting amplifier

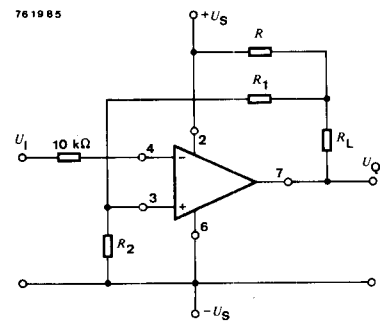


Fig. 19 Schmitt-Trigger
Schmitt Trigger

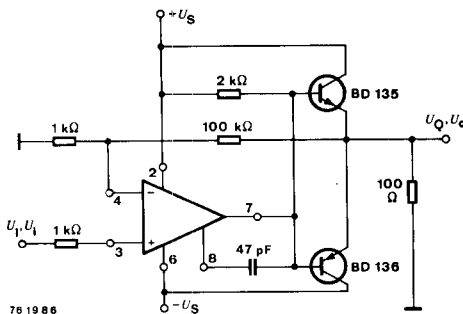


Fig. 20 Leistungsverstärker
Power amplifier

TAA 861 · TAA 861 A

TAA 865 · TAA 865 A

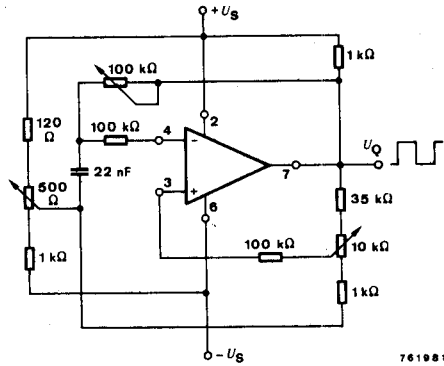
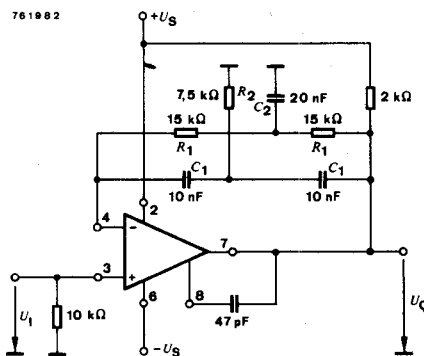


Fig. 21 Impulsgenerator
Pulse generator

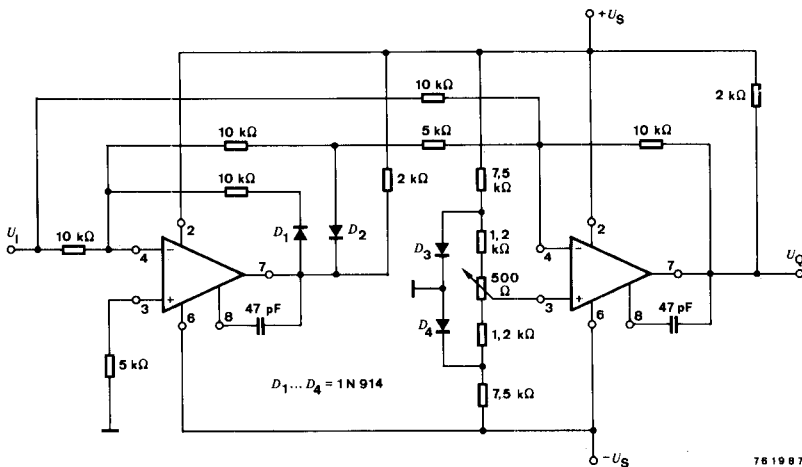


$$f = \frac{1}{2\pi R_1 \cdot C_1}$$

$$R_1 = 2 \cdot R_2$$

$$C_2 = 2 \cdot C_1$$

Fig. 22 Selektiver Verstärker
Selective amplifier



761987



**Fig. 23 AC-DC-Wandler
AC-DC-Converter**